# 盛土併用真空圧密下の泥炭のせん断弾性係数におよぼす載荷条件の影響

秋田大学 学生会員 〇遠藤紗江 正会員 荻野俊寛 学生会員 柳田陽平 正会員 高橋貴之

### 1. はじめに

著者らの一人はこれまでに盛土を併用した真空圧密工法をシミュレートした三軸試験から、負圧および軸応力載荷を複合的に受ける泥炭の側方ひずみが軸応力の載荷条件によって圧縮側から引張側まで幅広い範囲で制御可能であることを示した。発生するひずみの大きさは泥炭の剛性に大きく関係していると考えられる。負圧および軸応力の複合的載荷によって載荷後の剛性は大きく増加するが、載荷中の剛性の変化、および発生するひずみとの関連性については不明な点が多い。本研究では一連の三軸試験から載荷中の剛性の変化におよぼす軸応力載荷条件の影響について検討している。

#### 2. 試験概要

実験に用いた試料は、山形県南陽市郊外で採取した白竜湖泥炭であり、深度1~2mの泥炭層より採取したものを練り返し、直径約70mm、高さ約150mmに成形し供試体とした。表-1に物性値を示す。上記の

試料に,原地盤における静止土圧係数を K=0.6,軸有効圧密 応力を  $\sigma_{lc}$ =40kPa として三軸試験装置内で圧密試験を実施した.表 2 に各実験の試験条件を示す.図-1 は一連のシミュレ

ート試験の有効応力経路図である. 原地盤における初期状態は図中の点Aで示される。図中のTest-Y3,Y5,Y6は真空圧載荷速度,軸応力載荷速度をともに0.1kPa/minとして圧密を行った場合を示しており,Test-Y8~11は真空圧載荷速度を0.1kPa/min,軸応力載荷速度を0.5kPa/minとし,軸応力載荷をより短期間に完了させた場合の経路を示している. いずれも軸応力の載荷時期は真空圧が40kPaに達した点(点E)とし,一連のシミュレート試験後,軸ひずみ速度0.05%/minで非排水せん断を行っている. また,試験の応力経路上の様々な点でベンダーエレメント試験によるS波速度の測定を行った. 送信波は1000Hz,2000Hz,5000Hz の正弦波を用い,せん断弾性係数Gは以下の式(1)により定義される.

$$G = \rho_t V_s^2 = \rho_t (\frac{L}{\Delta t})^2 \tag{1}$$

ここに、 $\rho_t$ は土の密度、 $V_s$ はせん断波速度、Lは BE 間の距離、 $\Delta t$  はせん断波 伝播時間である。真空解除後、軸ひずみ速度 0.05kPa/min で非排水せん断を 行っている。

### 3. 試験結果

図-2 は Test-Y6 および Test-Y8~11 について、軸応力 q、間隙水圧 u、および G と t の関係を示したものである。 負圧および軸応力載荷によって有効圧密応力が増加するため、 Test-Y6 では時間とともに G が増加しているが、軸応力載荷速度が大きい Test-Y8~11 では、軸応力載荷中(EB間)に大きな正の過剰間隙水圧が発生しており、この間、G の増加が見られない。

図-3 は G と軸有効応力  $\sigma_I$  の関係を示したものである. 図-3(a)は軸応力載荷速度 0.1kPa/min の場合 (Test-Y3,Y5,Y6), 図-3(b)は軸応力載荷速度 0.5kPa/min の場合(Test-Y8~11)を示している.

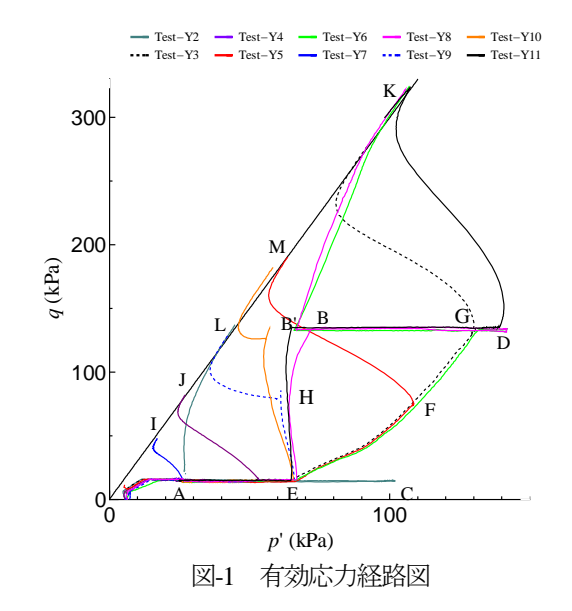
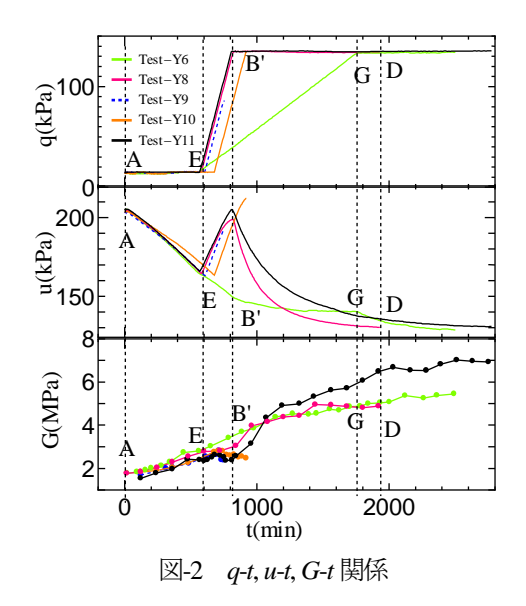


表-1 物性値

試料	含水比w(%)	土粒子密度ρs(g/cm3)	強熱減量L(%)	分解度H(%)
白竜湖泥炭	807.1	1.655	74.14	76.38

表-2 試験条件

試料	試験	応力経路	真空圧載 荷速度 (kPa/min)	軸応力載 荷速度 (kPa/min)	軸応力載 荷時の真 空圧(kPa)
白竜湖泥炭	test-Y2	ACAL	0.5		
	test-Y3	AEDK	0.1	0.1	40
	test-Y4	AEJ			0
	test-Y5	AEFM			40
	test-Y6	AEDBK			
	test-Y7	AI			
	test-Y8	AEBDBK	0.1	0.5	40
	test-Y9	AEHL			
	test-Y10	AEBM			
	test-Y11	AEBDK			



キーワード 有効気質土 真空圧密 せん断弾性係数 盛土載荷 連絡先 〒010-8502 秋田県秋田市手形学園町 1-1 TEL 018-889-2364 図-3(a)ではすべての実験で軸応力載荷にともなってGがほぼ直線的に増加しているのに対し、図-3(b)では軸応力載荷直後(点E)から剛性がほぼ変わらず載荷終了直後(点B)から急激に大きくなっている。図中に示す直線は荻野らりによる正規圧密された秋田泥炭の実験式である。この状態での泥炭のGは圧密応力比 $K(=\sigma_3/\sigma_1)$ の影響を受ける。これらの実験式はいずれも係数Aおよび指数nを用いて、

$$G = A\sigma_1^n$$
 (2)

図-7 は圧密打切り後に実施した非排水せん断時の $E_{50}$ と $\sigma_{I}$ の関係

を示している.図中の 英文字は非排水せん断 を開始した点を表して おり,図-1と対応して いる.軸応力載荷中 (EB'間)の剛性はほぼ 変化せず,載荷終了時 から一気に剛性が増加

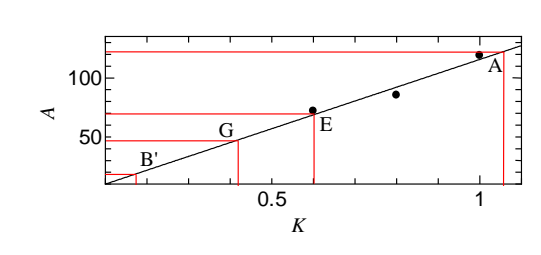


図-4 A-K 関係

する. E<sub>50</sub>は比較的大きなひずみ領域での変形係数であるが、微小ひずみ域の剛性の変化を表した図-3(b)と類似した挙動を示しており、軸応力載荷速度が大きい場合、微小ひずみから中ひずみの範囲で軸応力載荷中の剛性が減少あるいは剛性の増加が停滞することがわかる.

## 4. 結論

盛土併用真空圧密工法の施工中の剛性の変動を三軸シミュレートによって明らかにした. 本報告から得られる知見は以下の通りである.

- ・軸応力および真空圧を複合的に受けた泥炭のGは、軸応力載荷速度が小さい場合、 $\sigma_I$ とともにほぼ直線的に増加するが、載荷速度が大きくなると正の過剰間隙水圧が発生し、K値が低下するため、軸応力載荷中、 $\sigma_I$ の増加にも関わらずGの増加は見られない。
- ・比較的大きいひずみレベルにおいても軸応力載荷中の剛性変化は類似しており、非排水三軸試験から得られた $E_{50}$ は大きく減少する.

#### 謝辞

本研究の一部は JSPS 科研費 15K06207 の助成によって実施された. ここに記して謝意を表す.

#### 【参考文献】

1)荻野俊寛, 高橋貴之, 及川洋, 三田地利之, 対馬雅己; "ベンダーエレメント試験および繰返し 載荷試験による泥炭のせん断弾性係数", 地盤工学ジャーナル Vol. 4, No. 1, 125-13

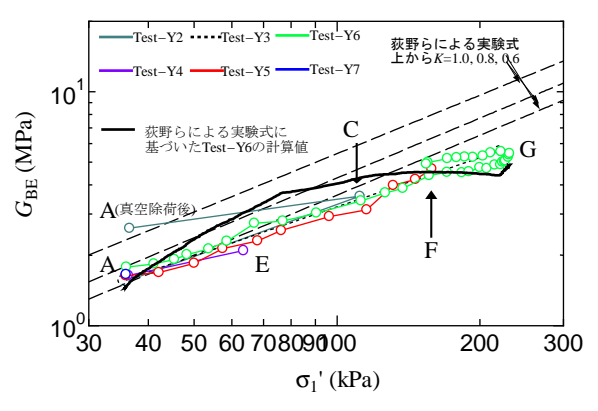


図-3(a) G-σ<sub>1</sub> 関係(経路 AEFG)

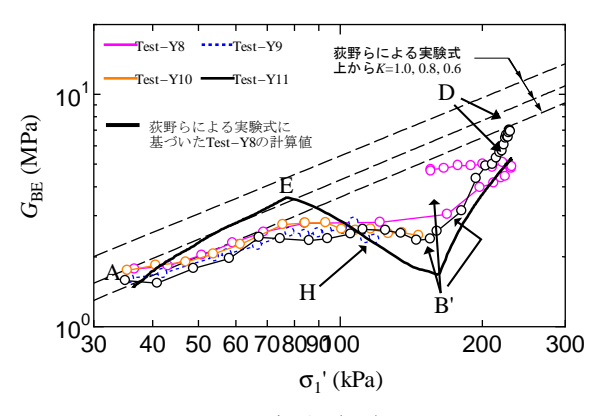


図-3(b) G-σ<sub>1</sub> 関係(経路 AEB'D)

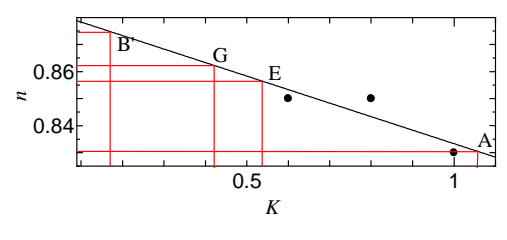


図-5 *n-K* 関係

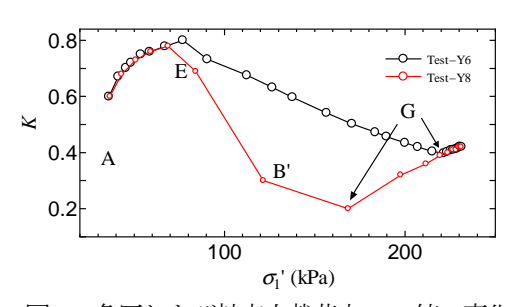


図-6 負圧および軸応力載荷中の Κ値の変化

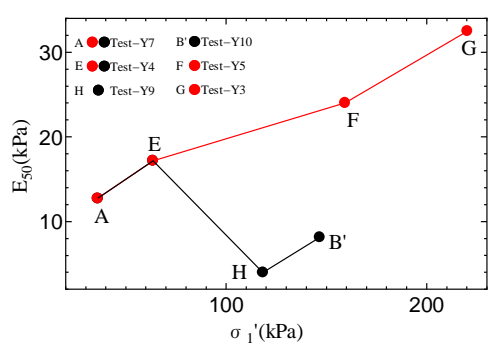


図-7 E<sub>50</sub>-σ<sub>1</sub> 関係